

Implementierung und Untersuchung einer hoch effizienten Methode zur Druck-Geschwindigkeits-Kopplung Masterthesis



Fabian Gabel

Kolloquium, 02.04.2015

Inhalt

Motivation

Aufgabenstellung und Bearbeitung

Implementierung

Performanceuntersuchung

Fazit und Ausblick

Inhalt

Motivation

Aufgabenstellung und Bearbeitung

Implementierung

Performanceuntersuchung

Fazit und Ausblick

Motivation

Herausforderungen für CFD-Applikationen:

- schnelle Verfügbarkeit von Simulationsergebnissen
- Ergebnisse mit hoher Genauigkeit
- Umgang mit komplexen Geometrien
- multiphysikalische Problemstellungen



- Adaptivität
- Parallelrechner (Skalierbarkeit)
- robuste Algorithmen
- Variablenkopplung berücksichtigen

Abbildung: Gasturbine (VDI)

Motivation

Vollständig gekoppelter Lösungsansatz
für Navier-Stokes Gleichungen (Darwish et al. 2009):

- simultane Lösung des Geschwindigkeits- und Druckfelds
- semi-implizite Druck-Geschwindigkeits-Kopplung
- robuster Algorithmus ohne Unterrelaxation

Neue Herausforderung:

- Umgang mit Speicheranforderungen
- Auswahl geeigneter skalierbarer Gleichungslöser

Inhalt

Motivation

Aufgabenstellung und Bearbeitung

Implementierung

Performanceuntersuchung

Fazit und Ausblick

Aufgabenstellung und Bearbeitung

- Implementierung eines vollständig gekoppelten Lösungsansatzes
 - Finite-Volumen Methode für 3d Navier-Stokes Gleichungen
 - blockstrukturierte, lokal verfeinerte Gitter mit hängenden Knoten
 - MPI-Parallelisierung des Lözers
 - Kopplungsansätze für Temperaturgleichung
- Skalierbarkeitsuntersuchung auf HHLR
 - Manufactured Solution
- Performancevergleich mit herkömmlichem SIMPLE-Verfahren
 - Kanalströmung mit komplexem Hindernis
 - auftriebsgetriebene Nischenströmung (Adaption MIT - Benchmark)

Inhalt

Motivation

Aufgabenstellung und Bearbeitung

Implementierung

Performanceuntersuchung

Fazit und Ausblick

Implementierung - Diskretisierung

- Finite-Volumen Methode für stationäre, inkompressible Navier-Stokes Gleichungen
- standardmäßige Diskretisierung der konvektiven und viskosen Terme
- implizite Berücksichtigung des Druckgradienten
- diskretisierte Massenerhaltungsgleichung

$$\sum_{f \in \{w, s, b, t, n, e\}} u_{i,f} n_{f_i} S_f = 0$$

- druckgewichtete Interpolation zur Massenflussberechnung

$$u_{i,f}^{(n)} = \left[(1 - \gamma_f) u_{i,P}^{(n)} + \gamma_f u_{i,Q}^{(n)} \right] - \left((1 - \gamma_f) \frac{V_P}{a_P^{u_i}} + \gamma_f \frac{V_Q}{a_Q^{u_i}} \right) \left[\left(\frac{\partial p}{\partial x_i} \right)_f^{(n)} - \frac{1}{2} \left(\left(\frac{\partial p}{\partial x_i} \right)_P^{(n-1)} + \left(\frac{\partial p}{\partial x_i} \right)_Q^{(n-1)} \right) \right]$$

Implementierung - Temperaturkopplung

- Diskretisierung der Boussinesq Approximation des Auftriebsterms $\rho\beta(T - T_0) g_i$
- implizit oder explizit

$$\frac{\partial}{\partial x_j} \left(\rho u_j T - \kappa \frac{\partial T}{\partial x_j} \right) = q_T$$

- Newton-Raphson Linearisierung des konvektiven Terms der Temperaturgleichung (Galpin et al. 1986)

$$(u_{j,f} T_f)^{(n)} \approx \underline{u_{j,f}^{(n-1)} T_f^{(n)}} + u_{j,f}^{(n)} T_f^{(n-1)} - u_{j,f}^{(n-1)} T_f^{(n-1)}$$

- Diskretisierung unter Verwendung der druckgewichteten Interpolation

Implementierung

- System algebraischer Gleichungen



$$a_P^{u_i} u_{P,i} + \underbrace{\sum_{F \in NB(P)} a_F^{u_i} u_{F,i} + a_P^{u_i,p} p_P}_{\text{Pressure-velocity coupling}} + \underbrace{\sum_{F \in NB(P)} a_F^{u_i,p} p_F}_{\text{Boussinesq approximation}} + a_P^{u_i,T} T_P = b_{P,u_i}$$

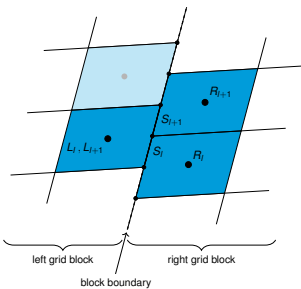
$$a_P^p p_P + \sum_{F \in NB(P)} a_F^p p_F + \underbrace{\sum_{j=1}^3 \left(a_P^{p,u_j} u_{P,j} + \sum_{F \in NB(P)} a_F^{p,u_j} u_{F,j} \right)}_{\text{Pressure-velocity coupling}} = b_{P,p}$$

$$a_P^T T_P + \sum_{F \in NB(P)} a_F^T T_F + \underbrace{\sum_{j=1}^3 \left(a_P^{T,u_j} u_{P,j} + \sum_{F \in NB(P)} a_F^{T,u_j} u_{F,j} \right) + a_P^{T,p} p_P + \sum_{F \in NB(P)} a_F^{T,p} p_F}_{\text{Newton-Raphson linearization}} = b_{P,T}$$

Implementierung

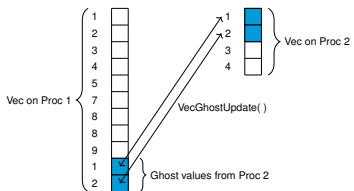
- Blockränder und Parallelisierung

- implizite Behandlung der Blockränder nach Lilek et al. (1997)
- Portable Extensible Toolkit for Scientific Computation (PETSc)
- PETSc Datenstrukturen zur MPI-Parallelisierung des Lösen
- spezielle Vektorobjekte zur Verwaltung von Ghost-Values



3	6	9	2	4
2	5	8	1	3
1	4	7		

Block 1 on Proc 1 Block 2 on Proc 2



Implementierung - Assemblierung

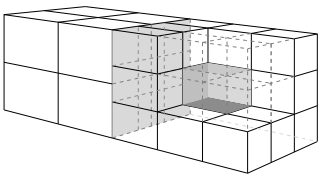
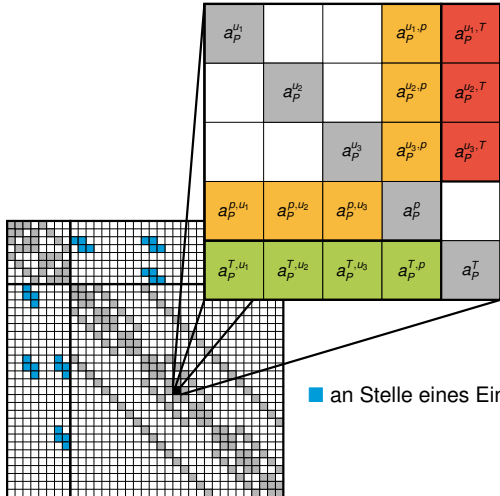


Abbildung: Blockstrukturiertes Gitter und resultierende Matrixbelegung für eine Variable ohne Kopplung

0	1	2	3	4	5	6	7	8	9	10	11	12	13	14	15	16	17	18	19	20	21	22	23	24	25	26	27	28	29	30	31	32	33	34		
1	$a_P a_N a_E$	a_T																																		
2	$a_S a_P$	a_E	a_T																																	
3	$a_W a_P a_N$		a_T		$a_R a_R$																															
4	a_B		$a_P a_N a_E$																																	
5	a_B	$a_S a_P$	a_E																																	
6	a_B	$a_W a_P a_N$																																		
7	a_B	$a_W a_S a_P$																																		
8	a_L			$a_P a_N a_E$																																
9	$a_L a_L$			$a_S a_P a_N$	a_E																															
10	$a_L a_L$			$a_S a_P$	a_E																															
11	a_W	$a_P a_N$	a_E																																	
12	a_W	$a_S a_P a_N$	a_E																																	
13	a_W	$a_S a_P$	a_E																																	
14	a_W	$a_P a_N$	a_E																																	
15	a_W	$a_S a_P a_N$																																		
16	a_W	$a_S a_P$																																		
17	a_L	a_L	a_B																																	
18	$a_L a_L$	$a_L a_L$	a_B																																	
19	a_L	a_L	a_B																																	
20	a_B																																			
21	a_B																																			
22	a_B																																			
23	a_B																																			
24	a_B																																			
25	a_B																																			
26	a_L																																			
27	$a_L a_L$																																			
28	$a_L a_L$																																			
29	a_B																																			
30	a_B																																			
31	a_B																																			
32	a_B																																			
33	a_B																																			
34	a_B																																			

Implementierung

- Assemblierung mit Kopplung



unterschiedliche Kopplungsterme:

- Druck-Geschwindigkeit
- Geschwindigkeit-Temperatur
- Temperatur-Geschwindigkeit/Druck

Implementierung - Lösungsalgorithmus

Algorithm 1 Fully Coupled Solution Algorithm

```
INITIALIZE variables
while (convergence criterion not accomplished) do
    if (temperature coupling) then
        SOLVE the linear system for velocities, pressure and temperature
    else
        SOLVE the linear system for velocities and pressure
    end if
    CALCULATE mass fluxes
    if (coupled scalar equation) then
        SOLVE scalar equation
    end if
end while
```

Inhalt

Motivation

Aufgabenstellung und Bearbeitung

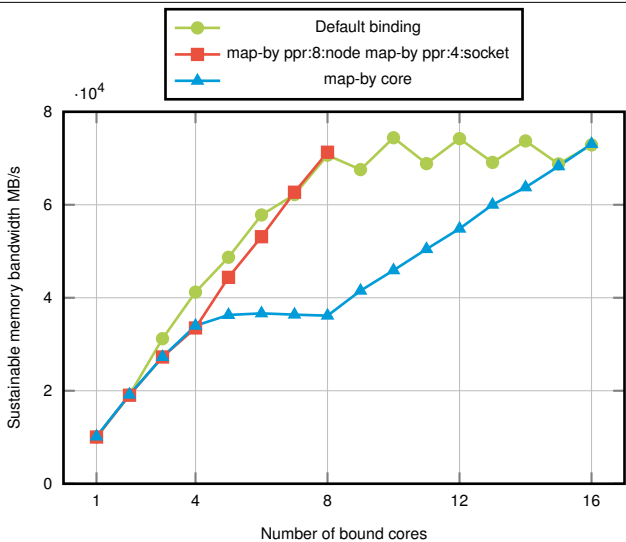
Implementierung

Performanceuntersuchung

Fazit und Ausblick

McCalpin STREAM Benchmark

- Sustainable Memory Bandwidth



- Nutzung eines Knotens der MPI1-Sektion des HHLR
- low-level Benchmark
- für bandbreitenlimitierte Programmperformance
- TRIAD KERNEL:
 $a[i] = b[i] + \text{scalar} * c[i]$

Manufactured Solution

- divergenzfreie Lösung für Geschwindigkeit
- $\mathbf{u} = \nabla \times \Psi$

$$u_1(\mathbf{x}) = 2 \cos(x_1^2 + x_2^2 + x_3^2) x_2 + 2 \sin(x_1^2 + x_2^2 + x_3^2) x_3$$

$$u_2(\mathbf{x}) = 2 \cos(x_1^2 + x_2^2 + x_3^2) x_3 - 2 \cos(x_1^2 + x_2^2 + x_3^2) x_1$$

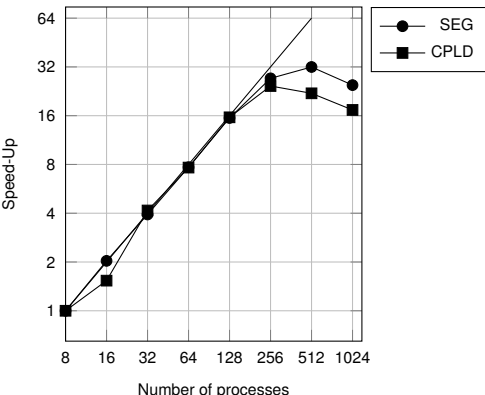
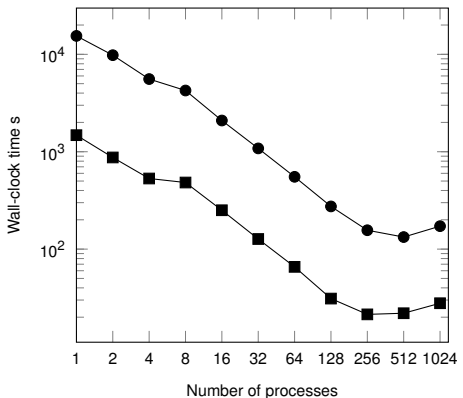
$$u_3(\mathbf{x}) = -2 \sin(x_1^2 + x_2^2 + x_3^2) x_1 - 2 \cos(x_1^2 + x_2^2 + x_3^2) x_2$$

- Problemgebiet so wählen, dass Kontinuität im diskreten Sinne global erfüllt wird
- Lösungen für Druck (und Temperatur)

$$p(\mathbf{x}) = \sin(x_1^2 + x_2^2 + x_3^2) \cos(x_1^2 + x_2^2 + x_3^2)$$

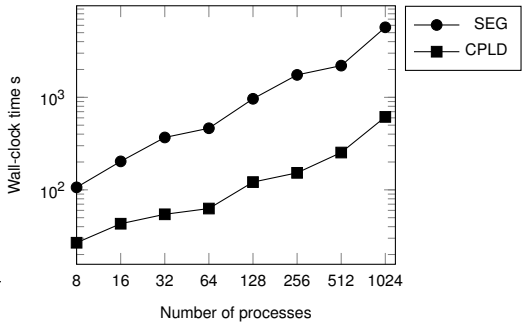
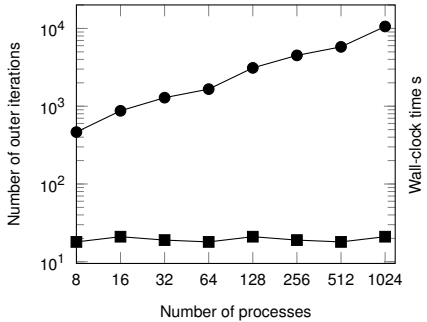
$$(T(\mathbf{x}) = \sin(x_1^2) \cos(x_2^2) \sin(x_3^2))$$

Manufactured Solution - Strong-Scaling



- $128 \times 128 \times 128$ Unbekannte auf Prozesse verteilt
- ab 256 Prozessoren zu wenig Unbekannte pro Prozess

Manufactured Solution - Weak-Scaling



- $32 \times 32 \times 32$ Unbekannte pro Prozess
- gekoppelter Algorithmus skaliert
- Implementierung skaliert nicht (Präkonditionierer)

Kanalströmung - Problemstellung

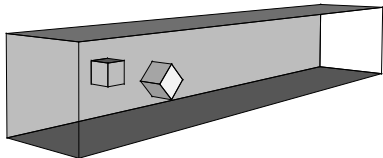


Abbildung: Skizze der Kanalströmung

- Würfel als Hindernisse
- parabolisches Einstromprofil
- $Re \approx 20$
- laminare Strömung
- nichttriviale Blockübergänge

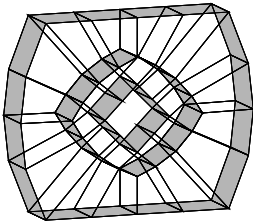
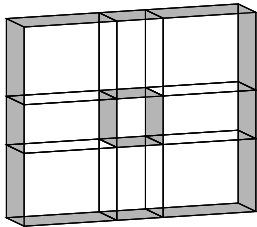


Abbildung: Blockaufteilung um die Hindernisse im Kanal

Kanalströmung

- Druck-Geschwindigkeits-Kopplung

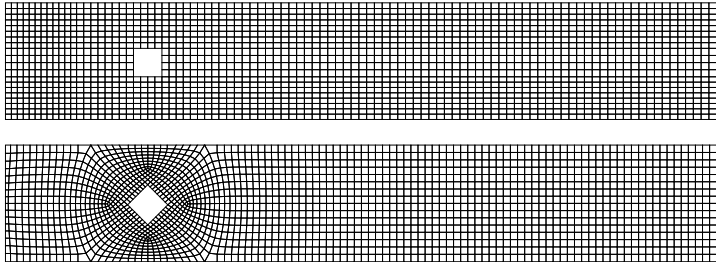


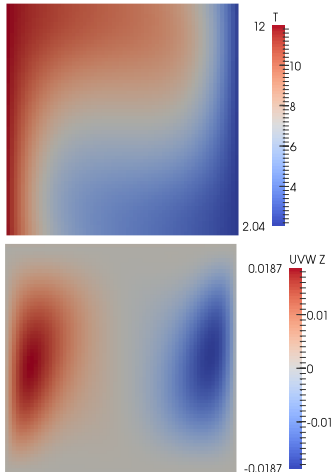
Abbildung: Numerisches Gitter am West- und Ostrand der Kanalströmung

Tabelle: Performanceuntersuchung der Kanalströmung zum Vergleich des SIMPLE (SEG) und vollständig gekoppelten (CPLD) Lösungsalgorithmus

No. of unknowns	SEG - time s	CPLD - time s	SEG - its.	CPLD - its.
75768	0.2226E+02	0.2674E+02	151	67
408040	0.4053E+03	0.1499E+03	355	42
2611080	1.1352E+05	0.3105E+04	1592	39

Temperaturgetriebene Nischenströmung

- Problemstellung



- Testfall mit natürlicher Konvektion
- starke Kopplung, da Strömung getrieben durch Temperaturdifferenzen
- 3d Kavität mit isothermer Ost- (kalt) und Westwand (heiß)
- alle übrigen Wände adiabat
- $Ra \approx 10^4$, $Pr = 0.71$
- stationäre, laminare Strömung

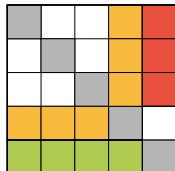
Abbildung: Temperatur- und w -Geschwindigkeitsfeld

Temperaturgetriebene Nischenströmung

- Temperaturkopplung

Tabelle: Performance des SIMPLE Algorithmus (SEG) und des gekoppelten Algorithmus (CPLD) mit impliziter Boussinesq Approximation (TCPLD) und semi-impliziter Temperatur-Geschwindigkeits/Druck-Kopplung (NRCPLD).

Resolution	Solver configuration	Time s	No. of nonlinear its.
32x32x32	SEG	0.3719E+02	203
	CPLD	0.6861E+02	62
	TCPLD	0.1012E+03	31
	NRCPLD	0.2153E+02	22
64x64x64	SEG	0.1997E+04	804
	CPLD	0.7687E+03	63
	TCPLD	0.1278E+04	59
	NRCPLD	0.4240E+03	17
128x128x128	SEG	0.5197E+05	3060
	CPLD	0.1860E+05	74
	TCPLD	0.1950E+05	50
	NRCPLD	0.6155E+04	18



Inhalt

Motivation

Aufgabenstellung und Bearbeitung

Implementierung

Performanceuntersuchung

Fazit und Ausblick

Fazit und Ausblick

- MPI parallelisierte Implementierung eines vollständig gekoppelten Lösungsverfahrens
- 3d blockstrukturierte Gitter mit hängenden Knoten
- unterschiedliche Methoden zur Temperaturkopplung
- Untersuchung der Skalierbarkeit auf HHLR
- Performancevergleich mit SIMPLE-Löser

weiterer Forschungsbedarf:

- instationäre laminare Strömungen bei hohen Rayleighzahlen
- implizite Kopplung im Kontext der Turbulenz, Mehrphasenströmungen, etc.
- matrixfreie Präkonditionierer
- physikbasierte Präkonditionierer (SIMPLE(R) oder andere Schur-Komplement Präkonditionierung)
- spezielle algebraische Mehrgitter-Präkonditionierer

Literatur I

-  Balay, S., Abhyankar, S., Adams, M. F., Brown, J., Brune, P., Buschelman K., Eijkhout, V., Gropp, W. D., Kaushik D., Knepley, M. G., Curfman McInnes, L., Rupp, K., Smith, B. F. and Zhang H., PETSc Web Page.
<http://www.mcs.anl.gov/petsc> (zuletzt besucht am 2. April 2015).

-  Darwish M., Sraj, I. und Moukalled, F.,
A Coupled Finite Volume Solver for the Solution of Incompressible Flows on Unstructured Grids.
Journal of Computational Physics, 228(1):180–201, 2009.

-  Galpin, P. F. und Raithby, G. D.,
Numerical Solution of Problems in Incompressible Fluid Flow:
Treatment of the Temperature-Velocity Coupling.
Numerical Heat Transfer, 10(2):105–129, 1986.

Literatur II

-  **Krajic, C. M. und Vuik, C.**
SIMPLE-Type Preconditioners for Cell-Centered, Colocated Finite Volume Discretization of Incompressible Reynolds-Averaged Navier-Stokes Equations.
International Journal for Numerical Methods in Fluids, 71(7):830–849, 2013.
-  **Lilek, Ž., Muzaferija, S., Perić, M. und Seidl, V.**,
An Implicit Finite-Volume Method Using Nonmatching Blocks of Structured Grid.
Numerical Heat Transfer, Part B: Fundamentals, 32(4):385–401, 1997.
-  **Vakilipour, S. und Ormiston, S. J.**,
A Coupled Pressure-Based Co-Located Finite-Volume Solution Method for Natural-Convection Flows.
Numerical Heat Transfer, Part B: Fundamentals, 61(2):91–115, 2012.